



Biocarvão dopado com ZnCl₂ para a adsorção de Cr⁶⁺: estudos preliminares para tratamento de efluentes da indústria metalúrgica

Luiza C. B. Pascoal¹, André M. Caldeira¹, Jussara A. O. Cotta^{1*}, Chinedum C. Anyika(PQ)^{2,3}, Filipe G. Fagundes¹, Augusto C. S. Bezerra⁴, Alan R. T. Machado^{1,2**}

¹Departamento de Ciências Exatas, Universidade do Estado de Minas Gerais, João Monlevade, Minas Gerais, 35930-314, Brazil

²Programa de Pós-graduação em Ciências Ambientais, Universidade do Estado de Minas Gerais, Frutal, Minas Gerais, 38202-436, Brazil

³Department of Soil Science and Land Management, Federal University of Technology, Minna, PMB 65 Minna, Nigeria

⁴Departamento de Engenharia de Transportes, Centro Federal de Educação Tecnológica de Minas Gerais, Minas Gerais, 30421-169, Brazil.

RESUMO

RESUMO - A contaminação de efluentes industriais por metais da galvanoplastia é um desafio significativo. Embora existam soluções para a remoção de íons metálicos, elas são limitadas por altos custos e baixa eficiência. A adsorção é uma técnica eficaz para remover metais de soluções aquosas, utiliza materiais sólidos com alta porosidade e área superficial específica. Neste contexto, o biocarvão, material carbonáceo obtido pela pirólise de biomassa residual, destaca-se como uma alternativa promissora, embora ainda pouco explorada, no tratamento de efluentes da indústria metalúrgica. Para contribuir com essa lacuna de pesquisa, este trabalho tem como objetivo avaliar a capacidade adsortiva do biocarvão produzido a partir do bagaço de cana-de-açúcar e ativado com cloreto de zinco na remoção de íons cromo (VI), investigando o efeito da temperatura final de pirólise sobre suas propriedades de adsorção. O biocarvão foi produzido em um forno de tambor duplo com aquecimento entre 350 °C e 500 °C por 3 horas. Para a ativação, o biocarvão foi impregnado com solução de ZnCl₂ e aquecido em mufla sob atmosfera de nitrogênio em diferentes temperaturas. As amostras foram caracterizadas por MEV, EDS e adsorção de nitrogênio. As amostras foram submetidas a testes de adsorção de Cr(VI) por meio de experimentos de cinética de adsorção. A concentração de Cr(VI) foi monitorada por meio do método da difenilcarbazida, utilizando espectrofotometria UV-Vis. Os resultados mostraram que o aumento da temperatura de pirólise resultou em estruturas mais ordenadas e compactas, com poros menores, dessa maneira esse efeito foi mais pronunciado no SBdZnCl₂@1000. No teste de adsorção de Cr(VI), o SBdZnCl₂@800 apresentou a maior capacidade adsortiva, sugerindo que, além da área superficial, a presença de Zn no biocarvão pode ter influenciado a adsorção. Por isso, foi escolhida para avaliação em ensaios que variaram temperatura, pH, dosagem do biocarvão ativado e concentração inicial de Cr(VI). Para a compreensão dos mecanismos, os dados experimentais foram ajustados a modelos cinéticos e de equilíbrio de adsorção. Os resultados mostraram que a temperatura de pirólise afeta a capacidade adsortiva. A cinética de adsorção foi avaliada por modelos, sendo melhor descrita pelo modelo de pseudo-segunda ordem, com coeficiente de determinação (R2) de 0,98, indicando uma forte interação entre Cr(VI) e o biocarvão ativado.

Palavras-chave: Biomassa; Galvanoplastia; MEV/ED; estudo cinético; quimissorção.

Introdução

A modificação do biocarvão por meio da dopagem com ZnCl2 para tratamento de águas residuais tem atraído interesse significativo em estudos recentes^{1,2}. O ZnCl₂ funciona como um poderoso agente desidratante, reprimindo a formação de alcatrões cuja evolução durante a pirólise resulta no bloqueio dos poros dos substratos. Além disso, o ZnCl₂ funciona como um agente desidratante, aumenta a evolução da funcionalidade aromática na lignina e funciona como um ácido de Lewis; portanto, não reage com carbono, preservando assim sua estabilidade. Apesar da importância da estabilidade térmica no aumento da afinidade de adsorção e na supressão da degradação da biomassa pirolisada, ainda há escassez de evidências sobre como o grau relativo de alta temperatura final de produção afeta a magnitude da estabilidade térmica de adsorventes dopados com ZnCl₂ e, por sua vez, sua afinidade de adsorção. Segundo os autores, a decomposição do carvão diminui com o aumento da temperatura de produção, embora isso possa não se traduzir em maior afinidade de sorção. Neste estudo, biocarvão de bagaço de cana-de-acúcar (SB) dopado

Neste estudo, biocarvão de bagaço de cana-de-açúcar (SB) dopado com ZnCl₂ e pirolisado em diferentes temperaturas, foi caracterizado

e posteriormente utilizado para avaliar a adsorção de cromo hexavalente em água. Os objetivos deste estudo foram (i) caracterizar SBdZnCl₂ para a adsorção de Cr⁶⁺ em água; (ii) Presumir um mecanismo para adsorção de Cr⁶⁺ em água sob o substrato termicamente mais estável.

Experimental

Preparação e Ativação do Biocarvão de Bagaço de Cana-de-Açúcar. O bagaço de cana-de-açúcar utilizado neste estudo foi coletado na Usina Cerradão, localizada em Frutal, Minas Gerais, Brasil. A produção do biochar seguiu a metodologia descrita por Pinto et al. (2023)³, utilizando um forno de tambor duplo. A ativação química do biochar com ZnCl₂ (5 mol.L⁻¹) foi realizada seguindo o procedimento descrito por Carolino et al. (2025)⁴.

Caracterização das amostras de biocarvão ativado

A morfologia e a composição química das amostras de biocarvão foram analisadas por TGA, XRD, SEM/EDS, mapeamento EDS e área superfial N₂ BET.



Estudo da adsorção de cromo hexavalente em biocarvão ativado O estudo da adsorção de Cr⁶⁺ em biocarvões ativados envolveu experimentos nos quais o tempo de contato, o pH da solução, a dosagem do material e a concentração de adsorbato foram variados. A quantificação de Cr⁶⁺ foi realizada pelo método da 1,5-difenilcarbazida⁵ com um espectrofotômetro UV-Vis (Genesys 180, Thermo Fisher Scientific, EUA). A capacidade de adsorção da amostra SBdZnCl₂@800 foi superior à das demais amostras avaliadas, sendo escolhido como o material mais promissor para futuras investigações de desempenho.

O ponto de carga zero (pHPZC) foi deteminado segundo Martins et al. (2024)⁶. Para investigar o mecanismo de adsorção, uma solução de 20 mL de Cr⁶⁺ (1000 mg/L), com o pH ajustado para 3,0, foi adicionada a 0,100 g de SBdZnCl₂@800. Após 60 minutos de contato sob agitação a 200 rpm, a mistura foi filtrada. A fase sólida foi então seca em uma estufa a 100 °C e posteriormente analisada por MEV/EDS.

Resultados e Discussão

A morfologia do biocarvão dopado com ZnCl₂ (SBdZnCl₂) é mostrada na Figura 1. As imagens indicam estrutura acessível e compactada, que são caracterizados por superfícies lisas e vários microporos, indicando homogeneidade na formação da estrutura de poros. Todos eles têm canais abertos, apresentando microporos. A análise por MEV/EDS identificou C, O, Cl e Zn como os principais elementos, sendo que os teores de O, Cl e Zn diminuíram com o aumento da temperatura, enquanto o teor de C permaneceu elevado. A área superficial específica variou de 74,814 m² g⁻¹ a 668,612 m² g⁻¹ com o aumento da temperatura.

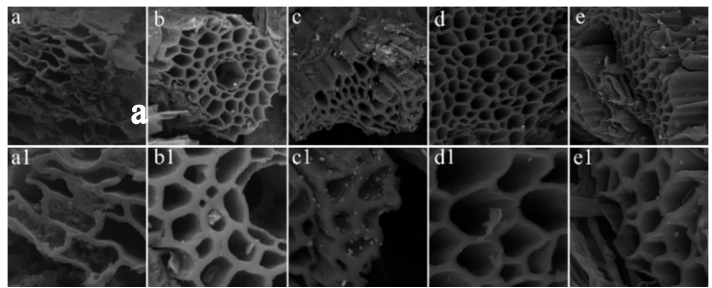


Figura 1. As imagens SEM de: SBdZnCl2@300 (a&a1). SBdZnCl2@400 (b&b1). SBdZnCl2@600 (c&c1). SBdZnCl2@800 (d&d1). SBdZnCl2@1000 (e&e1).

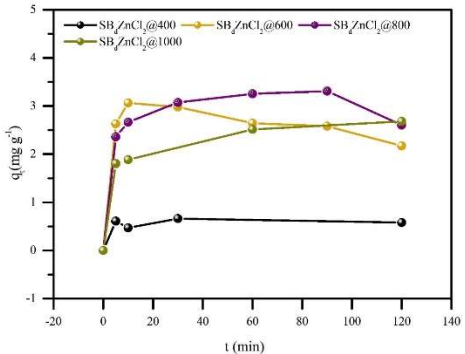


Figura 2. Cinética de adsorção de SBdZnCl2@400, SBdZnCl2@600, SBdZnCl2@800 e SBdZnCl2@1000.

Para SBdZnCl₂@800, o tempo de contato ideal para a remoção de Cr(VI) foi de 60 minutos (Figura 2), onde a porcentagem de remoção aumentou de 49,8% para 68,7%. Ensaios variando o pH inicial da solução revelaram que o melhor desempenho ocorreu em pH 3, removendo 69% do Cr(VI). A remoção de Cr(VI) aumentou com o aumento da dose de biocarvão ativado.



Os parâmetros das isotermas obtidos a partir dos modelos de Langmuir e Freundlich e os resultados da cinética de adsorção de Cr⁶⁺ são mostrados nas Tabelas 1 e 2. O modelo de Freundlich se adequou melhor ao processo de adsorção, sugerindo que o Cr⁶⁺ foi adsorvido de forma heterogênea nos sítios de ligação de SBdZnCl₂@800 devido aos grupos funcionais de superfície e às estruturas cristalinas altamente ordenadas presentes. O coeficiente de correlação (R2) indicou que os dados experimentais se ajustaram melhor ao modelo de pseudo-segunda ordem (R2 = 0,956). Além disso, o valor da quantidade de qe2 de Cr6+ adsorvido (3,13 mg g-1) calculado a partir do modelo de pseudo-segunda ordem foi mais consistente com o valor de que experimental (3,31 mg g⁻¹). Isso implica que o processo de adsorção foi melhor representado pelo modelo de pseudo-segunda ordem, indicando que a quimissorção de Cr⁶⁺ em SBdZnCl₂@800 foi o mecanismo limitante da taxa. Portanto, deduziu-se que os íons Cr6+ foram adsorvidos na superfície de SBdZnCl₂@800 por ligação química, por exemplo, por meio de troca de ligantes e reações de quelação.

Tabela 1. Constantes e coeficientes de correlação dos modelos de isoterma de Langmuir e Freundlich para adsorção de $\rm Cr^{6^+}$ em $\rm SBdZnCl_2@800$

	Modelo de Langmuir			Modelo de Freundlich		
T(°C)	q _{max} (mg g ⁻¹)	$K_L(L mg^{-1})$	\mathbb{R}^2	$K_F(L mg^{-1})$	N	\mathbb{R}^2
25	12.26	0.03	0.95	1.26	0.43	0.99

Tabela 2. Dados do estudo do modelo cinético para a remoção de

ions Cr ^o	da água				
Modelo	Parâmetros	valor	Modelo	Parâmetros	valor
cinético	cinéticos		cinético	cinéticos	
Pseudo-	qe, exp	3.31	Difusão	C	1.36
primeira	qe, cal	3.04	intrapartícula	Kd	0.20
ordem	kl	0.275		\mathbb{R}^2	0.49
	\mathbb{R}^2	0.955		Adj R ²	0.699
	Adj R ²	0.977			
Pseudo-	qe, cal	3.13	Elovich	A	0.11
segunda	k2	0.20		В	0.06
ordem	\mathbb{R}^2	0.956		\mathbb{R}^2	0.29
	Adj R ²	0.978		Adj R ²	0.499

Conclusões

O biocarvão ativado com Zn é uma alternativa promissora para a remoção de Cr(VI) em efluentes industriais, com potencial para contribuir significativamente para o tratamento de águas contaminadas pela galvanoplastia. Observa-se que o tratamento térmico e a ativação química influenciam diretamente em suas propriedades adsortivas.

Agradecimentos

Aos programas PIBIC/CNPq/UEMG, PAPQ/UEMG, PQ/UEMG

Referências

- El-Nemr, M. A., Hassaan, M. A., & Ashour, I. Scientific Reports, 2023, 13(1), 11556.
- 2. Ding, K., Zhou, X., Hadiatullah, H., Lu, Y., Zhao, G., Jia, S., Zhang, R., & Yao, Y. *Journal of Hazardous Materials*, **2021**, 420, 126551.
- 3. Pinto, B. C., et al. Waste Disposal & Sustainable Energy, 2023, 5(1), 75–88. 4. Carolino, J. M., et al. Environmental Chemistry and Ecotoxicology, 2025, 7,
- 19–26. 5. Mouco-Novegil, B. A., Hernández-Córdoba, M., & López-García, I. *Molecules*, **2024**. 29(1).
- 6. Martins, T. A.; De Sá, F. P.; Pereira, J.; Oliveira, T. F. Desalination and Water Treatment, 2024, 317, 100110.